

土壤链霉菌 *Streptomyces ardu斯* WS-65090 产生的 teleocidin 类化合物及其生物活性研究

张亚妮, 吴兆圆, 万中义, 张志刚, 石丽桥, 方伟, 柯少勇, 王开梅*

湖北省生物农药工程研究中心, 武汉 430064

摘要:研究土壤链霉菌 *Streptomyces ardu斯* WS-65090 的次级代谢产物及其生物活性。采用制备高效液相色谱, 从该菌株发酵液的乙酸乙酯提取物中共分离得到 5 个 teleocidin 类化合物, 通过 HR-MS、1D、2D-NMR、IR 等波谱分析、化学转化及与文献报道波谱数据比较等方法将其鉴定为 14-O-acetylteleocidin B-2 (1)、14-O-acetylteleocidin B-3 (2)、teleocidin B-2 (3)、teleocidin B-3 (4)、teleocidin A-2 (5), 其中化合物 1 为新化合物, 2 为新的天然产物。杀虫活性测试表明化合物 1~5 对草地贪夜蛾、棉铃虫、小菜蛾和蚜虫均具有毒杀活性, 其 LC₅₀ 值为 36.5~305.7 μg/mL。体外细胞毒活性实验结果表明化合物 1~5 对 A875、HepG2 和 Marc-145 细胞系具有较强的细胞毒活性, 其 IC₅₀ 值为 3.08~18.40 μM。

关键词: teleocidin 类化合物; 14-O-acetylteleocidin B-2; 14-O-acetylteleocidin B-3; 杀虫活性; 细胞毒活性

中图分类号: R284.2

文献标识码: A

文章编号: 1001-6880(2021)12-2059-08

DOI: 10.16333/j.1001-6880.2021.12.010

Teleocidin compounds from the soil-derived *Streptomyces ardu斯* WS-65090 and their bioactivities

ZHANG Ya-ni, WU Zhao-yuan, WAN Zhong-yi,
ZHANG Zhi-gang, SHI Li-qiao, FANG Wei, KE Shao-yong, WANG Kai-mei*

Hubei Biopesticide Engineering Research Centre, Wuhan 430064, China

Abstract: To investigate the secondary metabolites produced by *Streptomyces ardu斯* WS-65090 from soil and their bioactivities. Five teleocidin compounds (1~5) were isolated from the ethyl acetate extract of fermentation culture of *S. ardu斯* strain WS-65090 by preparative HPLC. The compounds were elucidated as new teleocidin analogue 14-O-acetylteleocidin B-2 (1), and new naturally occurring teleocidin analogue 14-O-acetylteleocidin B-3 (2), and three known compounds teleocidin B-2, B-3 and A-2 (3~5) by extensive spectroscopic analysis, including HR-MS, 1D and 2D NMR, combined with chemical transformation methods and comparison with literature data, etc. Insecticidal activities and cytotoxicity of compounds 1~5 were investigated under laboratory conditions. All compounds showed insecticidal activities against *Spodoptera frugiperda*, *Helicoverpa armigera*, *Plutella xylostella*, and *Aphis craccivora* with LC₅₀ values from 36.5 to 305.7 μg/mL, and exhibited cytotoxicity against A875, HepG2 and Marc-145 cell lines with IC₅₀ from 3.08 to 18.40 μM.

Key words: teleocidin compounds; 14-O-acetylteleocidin B-2; 14-O-acetylteleocidin B-3; insecticidal activity cytotoxicity

微生物为药物和农药的开发提供了大量的先导化合物资源。链霉菌属是放线菌的一个主要类群, 链霉菌次级代谢产物结构多样, 生物活性显著, 被认为是许多抗生素的来源和潜在的药物来源^[1]。近

年来, 从链霉菌中发现了一些具有良好生物活性的代谢产物, 例如, 阿德加霉素 P (aldgamycin P) 是分离自土壤链霉菌 *Streptomyces* sp. KIB-K1 的新大环内脂类化合物, 对金黄色葡萄球菌具有显著的抑制作用, MIC 值为 7.81 μg/mL^[2]。化合物 endostemonines A~J 是首次报道的从一株内生链霉菌属的菌株 BS-1 中分离鉴定出的新天然吡咯-2-羧酸酯衍生物, 对棉蚜具有很强的致死活性, 72 h LC₅₀ 值为

收稿日期: 2021-04-16 接受日期: 2021-07-05

基金项目: 国家重点研发计划(2017YFD0201205); 湖北省农业科技创新中心(2019-620-000-001-27); 湖北省自然科学基金面上项目(2019CFB604)

* 通信作者 Tel: 86-27-59101911; E-mail: kaimei.wang@nberc.com

3.55~32.00 mg/L^[3]。

在我们从放线菌中寻找活性代谢产物的过程中,发现一株土壤链霉菌 *Streptomyces arduis* WS-65090 发酵提取物具有较好的杀虫活性,为了明确其活性代谢产物,对其进行了分离纯化,获得了一些 teleocidin 类化合物。Teleocidin 最早是在 1960 年作为有毒物质由地中海链霉菌菌丝体的甲醇提取物中分离出来^[4-6],其拥有独特的吲哚内酰胺骨架,有 A-1、A-2、B-1、B-2、B-3 和 B-4 6 种立体构型^[7,8],因独特的结构和多样的生物活性而备受关注^[9-11]。目前,已从微生物中分离出多种 teleocidin 结构相关的化合物,如 lyngbyatoxins A ~ C^[12,13]、olivoretins A ~ C^[14,15]、14-O-(N-acetylglucosaminyl) teleocidin A^[16] 和 2-oxo-teleocidin A1^[17]。这些化合物表现出重要的生物活性,如皮肤刺激物、肿瘤促进剂和 PKC 激活剂以及细胞毒活性^[12-17]。本研究报道的新 teleocidin B 类构型的类似物及其杀虫与细胞毒活性,丰富了此类化合物的结构类型及活性,也丰富了链霉菌活性代谢产物类型,为其在农用方面的研究提供了基础数据。

1 材料与方法

1.1 仪器

MPC 500 旋光计(Waltham, USA); 岛津 UV-2600 PC 紫外分光度计(Shimadzu, Japan); NICOLET IS50 FT-IR 红外光谱仪(Thermo Fisher Scientific, USA); Bruker AVANCE 700 核磁共振仪(TMS 为内标,德国 BrukerBioSpin 公司); Jasco J-810 圆二色光谱仪(日本分光公司), Waters Xevo TQD UPLC-MS 超高效液质联用(Waters Corporation, USA); Bruker maXis Q-TOF 高分辨质谱(Bruker, Germany); Waters 高效液相制备色谱仪器(Waters2525 泵,带 2767 自动收集系统,2996 二极管阵列检测器,色谱工作站 Masslynx V4.0, Waters, USA); 色谱柱: Sunfire C₁₈ OBD 制备柱(19 mm × 250 mm / 10 mm × 250 mm, 5 μm, Waters, USA)。

1.2 菌株来源

菌株分离于湖北随县山坡土壤(2015 年 4 月采样),编号为 WS-65090,在 ISP-2 培养基上菌落生长旺盛,28 ℃下培养 14 天,菌落直径 7~8 mm,颜色为白色,菌落背面呈淡黄色(见图 1)。气生菌丝长而直,表面光滑,孢子稀少(见图 2)。将 WS-65090 菌株的 16S rRNA 序列以 AB184864 的登录号筛选到 Gen-Bank,与 ardus-NBRC 13430 菌株的相似性为

99.57%。通过形态鉴定和 16S rRNA 基因序列分析结果,将菌株 WS-65090 鉴定为链霉菌属 *Streptomyces arduis* WS-65090(艰难链霉菌)。菌种现保存于中国典型物保藏中心(武汉, CCTCC),登记号为 CCTCCM2020096。

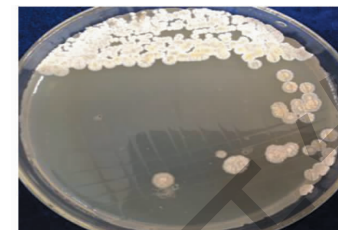


图 1 WS-65090 菌株的平板菌落形态

Fig. 1 Colony morphological characteristics of strain WS-65090

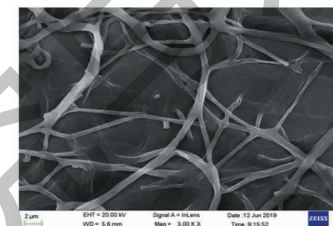


图 2 WS-65090 菌株电镜扫描图片 (Bar 2.0 μm)

Fig. 2 Scanning electron micrograph of strain WS-65090 (Bar 2.0 μm)

1.3 供试昆虫

草地贪夜蛾 (*Spodoptera frugiperda*) 初孵幼虫、棉铃虫 (*Helicoverpa armigera*) 初孵幼虫、小菜蛾 (*Plutella xylostella* L.) 二龄幼虫、豆蚜 (*Aphis craccivora*) 均由湖北省生物农药工程研究中心提供。

1.4 细胞株

人肝癌细胞株 HepG2、人恶性黑色素瘤细胞株 A875、非洲绿猴肾细胞株 Marc-145 均由湖北省生物农药工程研究中心实验室常规保存培养。

1.5 培养基

发酵培养基: ISP-2 液体培养基: 葡萄糖 4.0 g/L, 麦芽提取物 10.0 g/L, 酵母提取物 4.0 g/L, pH 值调至 7.2。

1.6 菌株发酵

将 *S. arduis* WS-65090 菌株的斜面菌种接种到含有 100 mL 种子培养基 ISP-2 的 500 mL 锥形瓶中。在 28 ℃下,以 150 rpm 进行振摇培养。发酵 96 h 后,在无菌条件下,将 10% 的种子培养物转移到含有 100 mL 发酵培养基的 500 mL 锥形瓶中,在 28 ℃下,摇床上以 150 rpm 发酵培养 120 h。

1.7 提取与分离

将链霉菌 WS-65090 菌株的 10L 发酵液冻干,用乙酸乙酯萃取冻干粉 2 次,合并乙酸乙酯萃取液,过滤并在真空下旋转蒸发得到粗提取物。将粗提物溶解于甲醇、离心,采用反相制备液相色谱进行分离纯化,色谱柱为 Waters Sunfire prep C₁₈ OBD 柱(19 mm × 250 mm, 5 μm);乙腈(B)和水(A)为流动相,以 24 mL/min 的流速梯度洗脱(0~2 min, 5% B; 2~27 min, 5%→100% B; 27~32 min, 100% B; 32~37 min, 100%→5% B; 37~40 min, 5% B),采用 PDA 全波长扫描,收集得到 13 个组分(Fr1~Fr13)。其中,组分 Fr4~13 对草地贪夜蛾、棉铃虫、小菜蛾和蚜虫具有较强的毒杀活性,采用反相制备液相色谱分别对组分 Fr4~13 进行进一步分离纯化,色谱柱为 Waters Sunfire prep C₁₈ OBD 柱(19 mm × 250 mm, 5 μm);乙腈(B)和水(A)为流动相,以 24 mL/min 的流速梯度洗脱(0~2 min, 20% B; 2~22 min, 20%→100% B; 22~26 min, 100% B; 26~30 min, 100%→20% B; 30~33 min, 20% B)。采用 PDA 全波长扫描,由 Fr11 分离到了化合物 1(19.08 mg),由 Fr12 获得了化合物 2(10.96 mg),由 Fr7 获得了化合物 3(28.70 mg),由 Fr8 获得化合物 4(16.93 mg),从 Fr5 获得化合物 5(10.33 mg)。

1.8 杀虫活性测定

采用 24 孔微量盘人工饲料表面涂布法测定了化合物 1~5 对草地贪夜蛾、棉铃虫和小菜蛾幼虫的杀虫活性。首先将每种化合物溶解在甲醇中,并用含 0.1% 吐温-80 的水稀释至 0.25、0.125、0.63、0.031、0.016 mg/mL。将 40 μL 样品溶液转移到 24 孔微量盘人工饲料表面。然后,将 10 只幼虫放入孔中,在 25 ℃ 下培养。每一种浓度使用 30 只幼虫(每孔 10 只幼虫)。72 h 后,与 85% 阿维菌素阳性对照组和阴性空白对照组比较,目测死亡率,计算致死浓度 50% 值(LC₅₀)。

化合物 1~5 对蚜虫的杀虫活性采用浸渍法^[18]。每一种化合物用 0.1% 吐温-80 乙醇溶液制备成 5 种浓度梯度(0.8、0.4、0.2、0.1、0.05 mg/mL)。在实验室条件下,将带蚜虫大豆幼苗浸入不同浓度的供试样品溶液 5 s,吸取多余的溶液,然后置于室温培养。每种处理重复 3 次,72 h 后,与阴性对照组和 85% 阿维菌素阳性对照组比较,观察死亡率。然后计算致死浓度 50% 值(LC₅₀)。

1.9 体外细胞毒活性测定

化合物 1~5 对 HepG2、A875 和 Marc-145 3 种细胞系的体外细胞毒活性采用 MTT 法^[19]。实验重复 3 次,用统计软件 SPSS16.0 进行数据分析并计算样品的半数抑制浓度(IC₅₀)。

2 结果与分析

2.1 化合物结构鉴定

化合物 1 白色无定形固体;[α]_D²⁵-15.3 (c 0.2, MeOH); IR (KBr) ν_{max} 3 446、2 957、2 932、2 870、1 740、1 662、1 455、1 371、1 231、1 044、917 cm⁻¹; 其中 3 446、1 740 和 1 662 cm⁻¹ 波谱提示了氨基、酯羰基和酰胺羰基的存在。HR-ESI-MS: *m/z* 494.339 6 [M + H]⁺ (计算值为 C₃₀H₄₄N₃O₃, 494.337 7), 确定分子式为 C₃₀H₄₃N₃O₃, 不饱和度为 11。化合物 1 的紫外光谱最大吸收值在 236 (3.15), 288 (2.92) nm, 提示和化合物 3 较为类似。¹H NMR 谱显示该化合物在低场区存在 1 个质子信号 [δ_H 8.22 (1H, br s)], 2 个单独的芳香质子信号 [δ_H 6.56 (1H, br s) 和 6.81 (1H, s)], 1 个末端双键质子信号 [δ_H 6.12 (1H, dd, *J* = 17.5, 10.4 Hz)、5.19 (1H, dd, *J* = 10.5, 1.3 Hz) 和 5.10 (1H, dd, *J* = 17.4, 1.3 Hz)], 此外在高场区还有 4 个次甲基质子信号 [δ_H 4.55 (1H, m)、4.33 (1H, d, *J* = 10.2 Hz)、2.65 (1H, m)、2.11 (1H, m)], 4 组亚甲基质子信号 [δ_H 4.19 (1H, dd, *J* = 11.6, 3.5 Hz) 和 3.97 (1H, dd, *J* = 11.6, 8.5 Hz)、3.21 (1H, d, *J* = 17.3 Hz) 和 3.04 (1H, dd, *J* = 17.3, 4.2 Hz)、1.88 (1H, m) 和 1.82 (1H, m)、1.88 (1H, m) 和 1.63 (1H, m)], 以及 8 个甲基质子信号 [δ_H 2.94 (3H, s)、2.09 (3H, s)、1.48 (3H, s)、1.32 (3H, s)、0.98 (3H, d, *J* = 6.9 Hz)、0.94 (3H, d, *J* = 6.3 Hz)、0.72 (3H, d, *J* = 6.7 Hz)、0.60 (3H, d, *J* = 6.9 Hz)]。结合¹H NMR、HSQC 波谱 1 的¹³C NMR 谱检测到 30 个碳信号,包括 2 个羰基信号 (δ_C 171.4、173.4), 8 个季碳信号 [其中 6 个芳香季碳 (δ_C 145.8、140.1、137.8、117.8、117.1、113.2), 2 个脂肪族季碳 (δ_C 40.4、39.8)], 7 个次甲基碳信号 [包括 1 个烯族次甲基 (δ_C 148.4), 2 个芳香族次甲基 (δ_C 120.9、107.2), 4 个脂肪族次甲基 (δ_C 71.3、53.5、38.4、28.7)], 5 个亚甲基碳信号 (δ_C 113.1、66.2、35.7、34.4、26.9), 8 个甲基信号 (δ_C 33.2、25.6、28.0、21.8、21.1、19.8、18.8、17.8)。结合上述分析及¹H NMR 和¹³C NMR 谱数据结果(见表 1), 推测该化合物可能是含有吲

哚内酰胺核心结构类化合物(见图3),通过与同时分离自该菌的 teleocidin B-2(**3**)的¹H NMR 和¹³C NMR 谱数据对比,发现除了 H-9、H-14、C-9、C-14 和一个 AcO 基团[δ_{H} 2.09 (s)、 δ_{C} 171.4 (s) 和 21.1 (q)]的信号外,其余原子与化合物**3**的一维核磁谱数据非常相似。由此推测化合物**3**中 C-14 的羟基单元被**1**中的乙酰氨基取代,这一点被 2D-NMR 谱进一步证实。在**1**的¹H-¹H COSY 谱显示(见图4) H-8 到 H-9、H-9 到 H-14 相关;由 H-14 [δ_{H} 4.19 dd

($J = 11.6, 3.5$)和 3.97 dd($J = 11.6, 8.5$ Hz)]与 C-1'(δ_{C} 171.4 s), H-2'(δ_{H} 2.09 s)与 C-14(δ_{C} 66.2 t)之间的 HMBC 相关性表明 C-14 处存在 AcO 基团。二维核磁共振数据(HSQC,¹H-¹³C HMBC 和¹H-¹H COSY)的详细数据分析证实了**1**的平面结构,并命名为 14-O-acetylteleocidin B-2。化合物**1**的详细结构鉴定数据原始图谱可从本刊官网免费下载(www.trew.ac.cn)。

表 1 化合物**1**和**2**的¹H NMR(700 MHz)和¹³C NMR(175 MHz)数据(CDCl_3)

Table 1 ¹H (700 MHz) and ¹³C NMR (175 MHz) spectral data of compounds **1** and **2** (CDCl_3)

编号 Position	1		2	
	δ_{C}	$\delta_{\text{H}} (J \text{ in Hz})$	δ_{C}	$\delta_{\text{H}} (J \text{ in Hz})$
1	—	8.22 br s	—	8.49 br s
2	120.9 d	6.81 br s	120.4 d	6.76 br s
3	113.2 s		113.0 s	
3a	117.1 s		116.8 s	
4	145.8 s		145.9 s	
5	107.2 s	6.56 s	106.9 s	6.50 s
6	137.8 s		137.5 s	
7	117.8 s		118.5 s	
7a	140.1 s		138.7 s	
8	34.4 t	3.21 d(17.3) 3.04 dd(17.3, 4.2)	34.3 t	3.18 d(17.3) 3.02 dd(17.3, 4.2) 4.53 m
9	53.5 d	4.55 m	53.3 d	
10	—	6.03 s	—	6.03 s
11	173.4 s		173.6 s	
12	71.3 d	4.33 d(10.2) 4.19 dd(11.6, 3.5)	71.2 d	4.26 d(10.2) 4.21 dd(11.5, 3.5)
14	66.2 t	3.97 dd(11.6, 8.5)	66.3 t	3.98 dd(11.5, 8.5)
15	28.7 d	2.65 m	28.8 d	2.62 m
16	19.8 q	0.72 d(6.7)	19.5 q	0.65 d(7.1)
17	21.8 q	0.94 d(6.3)	21.8 q	0.92 d(6.3)
18	33.2 s	2.94 s	33.4 s	2.91 s
19	39.8 t		39.8 t	
20	26.9 t	1.88 m 1.82 m	25.1 t	1.94 m 1.43 m
21	35.7 t	1.88 m 1.63 m	34.9 t	1.94 m 1.47 m
22	40.4 s		39.8 t	1.88 m
23	28.0 s	1.32 s	30.1 s	1.31 s
24	38.4 d	2.11 m	37.2 s	2.27 m
25	17.8 q	0.98 d(6.9)	17.2 q	1.02 d(6.7)
26	18.8 q	0.60 d(6.9)	18.6 d	0.59 d(6.8)
27	25.6 q	1.48 s	21.9 q	1.46 s
28	148.4 d	6.12 dd(17.5, 10.4) 5.19 dd(10.5, 1.3)	151.8 d	6.22 dd(17.7, 10.6) 5.38 dd(10.5, 1.3)
29	113.1 t	5.10 dd(17.4, 1.3)	113.1 t	5.25 dd(17.4, 1.3)
1'	171.4 s		171.4 s	
2'	21.1 q	2.09 s	21.1 q	2.11 s

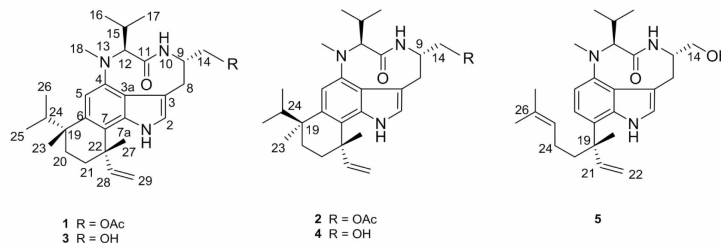


图 3 化合物 1~5 的化学结构

Fig. 3 Structures of compounds 1~5

化合物 2 白色无定形固体; $[\alpha]_D^{25} -57.3 (c 0.2, \text{MeOH})$; HR-ESI-MS: m/z 494.337 3 [$\text{M} + \text{H}$]⁺ (calcd for $\text{C}_{30}\text{H}_{44}\text{N}_3\text{O}_3$, 494.337 7) 推测分子式为 $\text{C}_{30}\text{H}_{43}\text{N}_3\text{O}_3$ 。IR (KBr) ν_{max} 3 447, 2 958, 2 932, 2 870, 1 740, 1 663, 1 453, 1 373, 1 230, 1 043, 915 cm^{-1} ; UV (MeOH) λ_{max} ($\log \varepsilon$) 237 (3.15), 287 (2.92) nm, 化合物 2 的红外光谱和紫外吸收光谱与 1 较为相似, 提示化合物 2 和 1 具有相同的化学骨架。化合物 2 的¹H 和¹³C 核磁数据表明除了存在 1 个 AcO 基团的信号外, 其余的原子信号与 teleocidin B-3(4)几乎相同。与化合物 4 相比, 2 存在 1 个额外的 AcO 单元信号, 其¹³C NMR 谱中 C-9、C-14 的化学位移分别减少 2.5 ppm 和增加 1.1 ppm。根据这些数据推测 4 中 C-14 的羟基被 2 中的 AcO 取代, 这一点由以下 2D-NMR 数据证实。在 2 的 HMBC 谱(图 4)中, 从 H-14 [$\delta_{\text{H}} 4.21 \text{ dd} (J = 11.5, 3.5)$ 和 $3.98 \text{ dd} (J = 11.5, 8.7 \text{ Hz})$] 与 C-1' ($\delta_{\text{C}} 171.6 \text{ s}$) 的相关, 以及从 H-2' ($\delta_{\text{H}} 2.11 \text{ s}$) 与 C-14 ($\delta_{\text{C}} 66.7 \text{ t}$) 的相关表明在 C-14 处有一个 AcO 基团, 这导致 C-9 和 C-14 的化学位移发生变化。化合物 2 命名为 14-O-acetylteleocidin B-3。尽管早在 1991 年, 有机化学领域合成了 14-O-acetylteleocidin B-4 和 14-O-acetylteleocidin B-3 的混合物, 但是并未获得化合物 2 的单体以及报道其全部的 NMR 数据^[20]。因此, 这是 2 在自然界中的首次发现, 也是其¹H 和¹³C 核磁共振波谱数据的首次报道。

虽然化合物 1 和 2 具有相同的平面结构, 且 CD 谱表明两者在 220~340 nm 呈现相似的科顿效应(见图 5), 但它们的一些核磁共振数据却有很大不同, 表明它们是立体异构体。化合物 1 和 2 在二维 NOESY 谱中并未表现出明显的相关, 根据 1 和 3, 2 和 4 的¹H 和¹³C NMR 中化学位移的相似性, 推测 1 的立体中心的相对构型与 3 相同, 2 与 4 相同。由于未能成功获得化合物 1 和 2 的晶体, 通过化学方

法碱水解实验进一步确定 1 和 2 的绝对构型。分别用相同质量的 0.1 N 氢氧化钠溶液水解化合物 1 和 2^[21], 应用 UPLC-MS 将它们的水解产物分别与共同分离的化合物 teleocidin B-2(3)、B-3(4)进行比较分析, 通过比较其紫外吸收光谱、分子离子、色谱数据及 CD 谱(补充数据), 确认化合物 1 和 2 的水解产物分别为化合物 teleocidin B-2、B-3, 而 teleocidin B-2、B-3 的立体构型早在 20 世纪 80 年代通过 X-Ray 确定^[8]。因此, 1 与 teleocidin B-2(3)具有相同的立体结构, 为 9S,12S,19R,22S; 2 与 teleocidin B-3(4)具有相同的立体结构, 为 9S,12S,19S,22S。

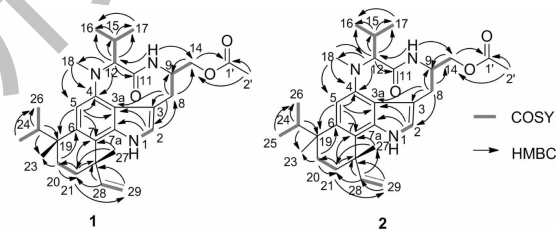
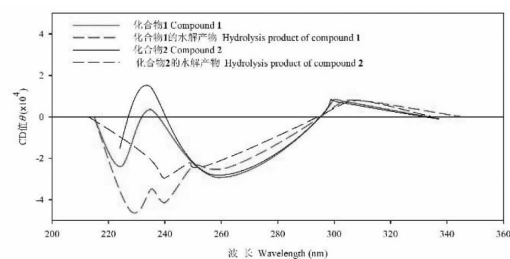
图 4 化合物 1 和 2 的 HMBC 和¹H-¹H COSY 相关信号Fig. 4 ¹H-¹H COSY and HMBC correlations of compounds 1 and 2

图 5 化合物 1~4 的 CD 谱

Fig. 5 CD spectrum of compounds 1~4

化合物 3 白色无定形固体; ESI-MS: m/z 452.73 [$\text{M} + \text{H}$]⁺, 450.77 [$\text{M}-\text{H}$]⁻; ¹H NMR (700 MHz, CDCl_3) δ : 8.20 (1H, br s, H-1), 6.81 (1H, br s, H-2), 6.55 (1H, s, H-5), 6.12 (1H, dd, $J = 17.5, 10.4 \text{ Hz}$, H-28), 5.18 (1H, dd, $J = 10.5, 1.4 \text{ Hz}$, H-

29), 5.10(1H, dd, $J = 17.4, 1.3$ Hz, H-29), 4.35(1H, d, $J = 10.2$ Hz, H-12), 4.34(1H, m, H-9), 3.74(1H, dd, $J = 11.4, 3.8$ Hz, H-8), 3.54(1H, dd, $J = 11.4, 8.5$ Hz, H-14), 3.16(1H, d, $J = 17.3$ Hz, H-8), 3.00(1H, dd, $J = 17.3, 3.9$ Hz, H-8), 2.93(3H, s, H-18), 2.62(1H, m, H-15), 2.11(1H, m, H-24), 1.90~1.82(2H, m, H-20), 1.88~1.62(2H, m, H-21), 1.48(3H, s, H-27), 1.32(3H, s, H-23), 0.98(3H, d, $J = 6.8$ Hz, H-25), 0.93(3H, d, $J = 6.3$ Hz, H-17), 0.70(3H, d, $J = 6.7$ Hz, H-16), 0.60(3H, d, $J = 6.9$ Hz, H-26); ^{13}C NMR(175 MHz, CDCl_3) δ : 174.4(C-11), 148.5(C-28), 145.9(C-4), 140.0(C-7a), 137.8(C-6), 120.8(C-2), 117.6(C-7), 117.2(C-3a), 113.9(C-3), 113.1(C-29), 107.0(C-5), 71.1(C-12), 65.3(C-14), 56.1(C-9), 40.4(C-19), 39.8(C-22), 38.4(C-24), 35.8(C-21), 34.0(C-8), 33.3(C-18), 28.6(C-15), 28.1(C-23), 26.9(C-20), 25.6(C-27), 21.9(C-17), 19.8(C-16), 18.9(C-26), 17.8(C-25)。以上数据与文献^[8,22]基本一致,故化合物3鉴定为teleocidin B-2。

化合物4 白色无定形固体; ESI-MS: m/z 452.73 [M + H] $^+$, 450.86 [M-H] $^-$. ^1H NMR(700 MHz, CDCl_3) δ : 8.46(1H, br s, H-1), 6.76(1H, br s, H-2), 6.47(1H, s, H-5), 6.22(1H, dd, $J = 17.7, 10.6$ Hz, H-28), 5.38(1H, dd, $J = 17.7, 1.2$ Hz, H-29), 5.25(1H, dd, $J = 10.6, 1.2$ Hz, H-29), 4.35(1H, m, H-9), 4.29(1H, d, $J = 10.2$ Hz, H-12), 3.76(1H, dd, $J = 11.4, 3.7$ Hz, H-14), 3.57(1H, dd, $J = 11.4, 8.5$ Hz, H-14), 3.13(1H, d, $J = 17.1$ Hz, H-8), 2.98(1H, dd, $J = 17.4, 3.7$ Hz, H-8), 2.90(3H, s, H-18), 2.60(1H, m, H-15), 2.27(1H, m, H-24), 1.94~1.42(2H, m, H-20), 1.94~1.42(2H, m, H-21), 1.47(3H, s, H-27), 1.31(3H, s, H-23), 1.02(3H, d, $J = 6.8$ Hz, H-25), 0.92(3H, d, $J = 6.3$ Hz, H-17), 0.65(3H, d, $J = 6.8$ Hz, H-16), 0.63(3H, d, $J = 6.8$ Hz, H-26); ^{13}C NMR(175 MHz, CDCl_3) δ : 174.6(C-11), 151.9(C-28), 146.0(C-4), 138.6(C-7a), 137.5(C-6), 120.3(C-2), 118.3(C-7), 116.8(C-3a), 113.7(C-3), 111.4(C-29), 106.7(C-5), 71.0(C-12), 65.5(C-14), 56.0(C-9), 39.8(C-19), 39.6(C-22), 37.2(C-24), 34.9(C-21), 33.9(C-8), 33.4(C-18), 30.1(C-23), 28.7(C-15), 25.1(C-20), 21.9(C-17), 21.8(C-27), 19.5(C-

16), 18.6(C-26), 17.2(C-25)。以上数据与文献^[8,22]基本一致,故化合物4鉴定为teleocidin B-3。

化合物5 白色无定形固体; ESI-MS: m/z 438.73 [M + H] $^+$, 436.68 [M-H] $^-$. ^1H NMR(700 MHz, CDCl_3) δ : 8.53(br s, 1H, H-1), 6.97(d, $J = 8.1$ Hz, 1H, H-6), 6.82(br s, 1H, H-2), 6.48(d, $J = 8.1$ Hz, 1H, H-5), 6.20(dd, $J = 17.7, 10.6$ Hz, 1H, H-21), 5.30(d, $J = 19.0$ Hz, 1H, H-22), 5.26(d, $J = 10.7$ Hz, 1H, H-22), 5.09~5.06(m, 1H, H-25), 4.34(d, $J = 10.0$ Hz, 1H, H-12), 4.33(br s, 1H, H-9), 3.74(dd, $J = 11.3, 4.1$ Hz, 1H, H-14), 3.55(dd, $J = 11.3, 8.5$ Hz, 1H, H-14), 3.15(br d, $J = 17.2$ Hz, 1H, H-8), 3.02(dd, $J = 17.3, 3.6$ Hz, 1H, H-8), 2.91(s, 3H, H-18), 2.59(m, 1H, H-15), 1.99~1.81(m, 2H, H-23), 1.96~1.89(m, 2H, H-24), 1.63(s, 3H, H-28), 1.45(s, 3H, H-20), 1.39(s, 3H, H-27), 0.91(d, $J = 6.3$ Hz, 3H, H-16), 0.60(d, $J = 6.7$ Hz, 3H, H-17); ^{13}C NMR(175 MHz, CDCl_3) δ : 174.3(C-11), 149.2(C-21), 146.7(C-4), 137.7(C-7a), 131.7(C-26), 124.8(C-25), 121.3(C-2), 120.6(C-6), 120.3(C-3), 118.7(C-7), 114.1(C-3a), 112.4(C-22), 106.2(C-5), 71.3(C-12), 65.4(C-14), 55.8(C-9), 43.6(C-19), 38.2(C-23), 34.3(C-8), 33.2(C-18), 28.8(C-15), 25.9(C-27), 25.0(C-20), 23.4(C-24), 21.8(C-16), 19.6(C-17), 17.6(C-28)。以上数据与文献^[7,23,24]基本一致,故化合物5鉴定为teleocidin A-2。

2.2 化合物活性测试结果

2.2.1 杀虫活性测试结果

化合物1~5对草地贪夜蛾、棉铃虫和小菜蛾幼虫的活性测定,采用24孔盘人工饲料表面涂布法,对蚜虫的测定采用浸渍法。72 h杀虫活性结果如表2所示,化合物1对草地贪夜蛾、棉铃虫、小菜蛾这3种供试昆虫的活性是这5个化合物中表现最强的,其LC₅₀值分别为42.6、36.5、66.4 μg/mL;其次为化合物2,LC₅₀值分别为44.8、44.2、68.1 μg/mL;化合物3~5对这3种供试昆虫的LC₅₀值为76.6~168.3 μg/mL。这5个化合物对蚜虫表现出中等的杀虫活性,其LC₅₀值为144.5~206.8 μg/mL。而阳性对照阿维菌素对这4种供试昆虫的活性均高于化合物1~5,其LC₅₀值分别为2.2、1.9、3.1、1.7 μg/mL。

表 2 化合物 1~5 对 4 种供试昆虫的杀虫活性

Table 2 Insecticidal activities of compounds 1~5 against the four tested insects

化合物 Compound	半数致死浓度 LC ₅₀ (μg/mL)			
	草地贪夜蛾 <i>Spodoptera frugiperda</i>	棉铃虫 <i>Helicoverpa armigera</i>	小菜蛾 <i>Plutella xylostella</i>	豆蚜 <i>Aphis craccivora</i>
1	42.6	36.5	66.4	144.5
2	44.8	44.2	68.1	192.5
3	87.4	168.6	163.4	229.2
4	76.6	126.4	150.4	305.7
5	106.5	113.0	151.7	206.8
阿维菌素 Avermectin*	2.2	1.9	3.1	1.7

注: * 85% 阿维菌素作为阳性对照。

Note: 85% avermectin was used as positive control.

2.2.2 体外细胞毒活性

化合物 1~5 的细胞毒活性测试采用 MTT 法。结果表明,与阳性对照 5-氟尿嘧啶相比,这些化合物的细胞毒活性较强,对 A875、HepG2 和 Marc-145 细胞系的 IC₅₀ 值为 3.08 ± 1.04 ~ 18.40 ± 2.06 μM(表 3)。具体而言,1 对这 3 种细胞系表现出细

胞毒活性的 IC₅₀ 值分别为 15.53 ± 2.53、4.64 ± 0.95、13.52 ± 2.88 μM;2 对这 3 种细胞系的 IC₅₀ 值为 11.72 ± 1.42、5.29 ± 1.95、13.86 ± 3.16 μM,与化合物 3~5 相比,显示出近似的细胞毒活性。

表 3 化合物 1~5 对 A875、HepG2 和 Marc-145 细胞系的体外细胞毒活性

Table 3 *In vitro* cytotoxicity of compounds 1~5 against the A875, HepG2 and Marc-145 cell lines

化合物 Compound	半抑制浓度 IC ₅₀ (μM)		
	A875	HepG2	Marc-145
1	15.53 ± 2.53	4.64 ± 0.95	13.52 ± 2.88
2	11.72 ± 1.42	5.29 ± 1.95	13.86 ± 3.16
3	9.12 ± 1.22	3.08 ± 1.04	10.98 ± 0.42
4	17.09 ± 3.63	11.69 ± 2.63	18.40 ± 2.06
5	10.99 ± 1.78	10.19 ± 2.53	13.03 ± 3.08
5-氟尿嘧啶 5-Fluorouracil*	82.49 ± 8.00	75.34 ± 11.69	104.01 ± 18.60

注: * 阳性对照。

Note: * Positive control.

3 结论

从链霉菌 *Streptomyces arduus* WS-65090 发酵提取物中分离得到 5 个 teleocidin 类化合物,这些化合物均具有杀虫和细胞毒活性。其中 14-O-acetylteleocidin B-2(1) 是一种新的化合物,14-O-acetylteleocidin B-3(2) 是一种新的天然产物,首次对其核磁共振波谱数据进行了详细阐述。这也是近年来首次从土壤来源的链霉菌菌株中分离出的 teleocidin B 类型结构的化合物,其对草地贪夜蛾、棉铃虫、小菜蛾和蚜虫具有杀虫活性。另外,这两种新的 teleocidin 类似物在 C-14 处含有乙酰基,其杀虫活性强于已知的三种化合物。结合细胞毒活性的实验结果,说明了 teleocidin 类似物的 C-14 位的乙酰基基团对其生

物活性有重要影响。Teleocidin 类化合物生物活性多集中在医用活性方面,本研究报道的化合物丰富了 teleocidin 类化合物的种类,扩展了生物活性,为其在农用方面的研究提供了探讨。

参考文献

- Berdy J. Bioactive microbial metabolites [J]. *J Antibiot*, 2005, 58:1-26.
- Wang L, Yu ZY, Xu DD, et al. Macrolides from soil-derived *Streptomyces* sp. KIB-K1 and their antimicrobial activities [J]. *Nat Prod Res* (天然产物研究与开发), 2019, 31: 1764-1771.
- Zhao HM, Yang AP, Zhang N, et al. Insecticidal endoste-

- monines A-J produced by endophytic *Streptomyces* from *Stemona sessilifolia* [J]. *J Agr Food Chem*, 2020, 68: 1588-1595.
- 4 Takashima M, Sakai H. A new toxic substance, teleocyclin, produced by *Streptomyces*. Part I. Production, isolation and chemical studies [J]. *Bull Agr Chem Soc Japan*, 1960, 24: 647-651.
- 5 Takashima M, Sakai H. A new toxic substance, teleocidin, produced by *Streptomyces*. Part II. Biological studies of teleocidin [J]. *Bull Agr Chem Soc Japan*, 1960, 24: 652-655.
- 6 Takashima M, Sakai H, Arima K. A new toxic substance, teleocidin, produced by *Streptomyces*. Part III. Production, isolation and chemical characterization of teleocidin B [J]. *Agro Biol Chem*, 1962, 26: 660-668.
- 7 Sakai SI, Hitotsuyanagi Y, Aimi N, et al. Absolute configuration of lyngbyatoxin A (teleocidin A-1) and teleocidin A-2 [J]. *Tetrahedron Lett*, 1986, 27: 5219-5220.
- 8 Hitotsuyanagi Y, Fujiki H, Suganuma M. Isolation and structure of teleocidin B-1, B-2, B-3, B-4 [J]. *Chem Pharm Bull*, 1984, 32: 4233-4236.
- 9 Fujiki H, Suganuma M, Matsukura N, et al. Teleocidin from *Streptomyces* is a potent promoter of mouse skin carcinogenesis [J]. *Carcinogenesis*, 1982, 3: 895-898.
- 10 Fujiki H, Sugimura T. New classes of tumor promoters: Teleocidin, aplsiatoxin, and palytoxin [J]. *Adv Cancer Res*, 1987, 49: 223-264.
- 11 Stahn S, Thelen L, Albrecht IM, et al. Teleocidin A2 inhibits human proteinase-activated receptor 2 signaling in tumor cells [J]. *Pharma Res Per*, 2016, 4: e00230.
- 12 Cardellina JH, Marner FJ, Moore RE. Seaweed dermatitis: structure of lyngbyatoxin A [J]. *Science*, 1979, 204: 193-195.
- 13 Aimi N, Odaka H, Sakai SI, et al. Lyngbyatoxins B and C, two new irritants from *Lyngbya majuscule* [J]. *J Nat Prod*, 1990, 53: 1593-1596.
- 14 Sakai SI, Aimi N, Yamaguchi K, et al. Elucidation of the structure of olivoretin A and D (teleocidin B) [J]. *Chem Pharm Bull*, 1984, 32: 354-357.
- 15 Hitotsuyanagi Y, Yamaguchi K, Ogata K, et al. Elucidation of the structures of olivoretin B and C [J]. *Chem Pharm Bull*, 1984, 32: 3774-3778.
- 16 Nakae K, Hosokawa N, Sawa R, et al. A new teleocidin analog from *Streptomyces* sp. MM216-87F4 induces substance P release from rat dorsal root ganglion neurons [J]. *J Antibiot*, 2006, 59: 11-17.
- 17 Izumikawa M, Khan ST, Komaki H, et al. JBIR-31, a new teleocidin analog, produced by salt-requiring *Streptomyces* sp. NBRC 105896 isolated from a marine sponge [J]. *J Antibiot*, 2010, 63: 33-36.
- 18 Zhao Y, Li YQ, Ou XM, et al. Synthesis, insecticidal, and acaricidal activities of novel 2-aryl-pyrrole derivatives containing ester groups [J]. *J Agr Food Chem*, 2008, 56: 10176-10182.
- 19 Mosmann T. Rapid colorimetric assay for cellular growth and survival application to proliferation and cytotoxicity assays [J]. *J Immunol Methods*, 1983, 65: 55-63.
- 20 Okabe K, Muratake H, Natsume M. Synthesis of teleocidins A, B and their congeners. Part 3. Synthesis of dihydroteleocidin B-4 (dihydroteleocidin B), teleocidin B-3 and teleocidin B-4 [J]. *Tetrahedron*, 1991, 41: 8559-8572.
- 21 Irie K, Tomimatsu S, Nakagawa Y, et al. Isolation of (-)-14-O-malonylindolactam-V as a possible precursor of (-)-indolactam-V and (-)-14-O-acetylindolactam-V from *Streptomyces blastmyceticum* [J]. *Biosci Biotech Bioch*, 1999, 63: 1669-1670.
- 22 Nakamura H, Yasui K, Kanda Y, et al. 11-Step total synthesis of teleocidins B-1-B-4 [J]. *J Am Chem Soc*, 2019, 141: 1494-1497.
- 23 Muratake H, Okabe K, Natsume M. Synthesis of teleocidins A, B and their congeners. Part 2. Synthesis of lyngbyatoxin A (teleocidin A-1), teleocidin A-2, pendolmycin, and (*R, E*)-and (*S, E*)-7-(3, 7, 11)-trimethyl-1, 6, 10-dodecatrien-3-yl) -(-)-indolactams [J]. *Tetrahedron*, 1991, 47: 8545-8558.
- 24 Fine Nathel NF, Shah TK, Bronner SM, et al. Total syntheses of indolactam alkaloids (-)-indolactam V, (-)-pendolmycin, (-)-lyngbyatoxin A, and (-)-teleocidin A-2 [J]. *Chem Sci*, 2014, 5: 2184-2190.